

تحلیل طیف سیگنال بازگشتی در رادار FMCW با آشکارسازی همزمان چند هدف

مهرزاد بیغش
دانشجوی دکترا

فروهر فرزانه
دانشیار

دانشکده مهندسی برق، دانشگاه صنعتی شریف

چکیده

در این مقاله روشی برای تفکیک اهدافی که به طور همزمان در بوابر اشعه اصلی آنتن رادار FMCW قرار گرفته اند، ارائه شده است. بدین منظور ابتدا طیف سیگنال بعد از مخلوط گننده در رادار FMCW برای هنگامی که سیگنال مدوله گننده پریویت بوده و پریود آن نسبت به زمان رفت و برگشت سیگنال تا اهداف کوچک باشد با در نظر گرفتن پارامترهای رادار و اهداف، محاسبه شده است. برای استخراج فاصله اهداف تا رادار و تفکیک آنها از یکدیگر الگوریتمی براساس پردازش طیف سیگنال پیشنهاد شده و توانایی الگوریتم در تفکیک اهداف با شبیه سازی مورد بررسی قرار گرفته است. اثر نویز جمجم شونده بر اختلال در الگوریتم ارائه شده نیز بحث و بررسی شده است.

Spectral Analysis of the Return Signal in FMCW Radar with Multitarget Detection

F. Farzaneh
Associate Professor

M. Bighash
Ph.D. Student

Electrical Department, Sharif University of Technology

Abstract

In this paper a new method for resolving different target in FMCW radar is proposed. The spectrum of the return signal at the mixer output is calculated.

To determine targets' range and resolving them from one another a new algorithm based on spectral analysis is presented. The capability of the algorithm is evaluated in different range conditions. The white additive noise effect on the algorithm's performance is taken into account.

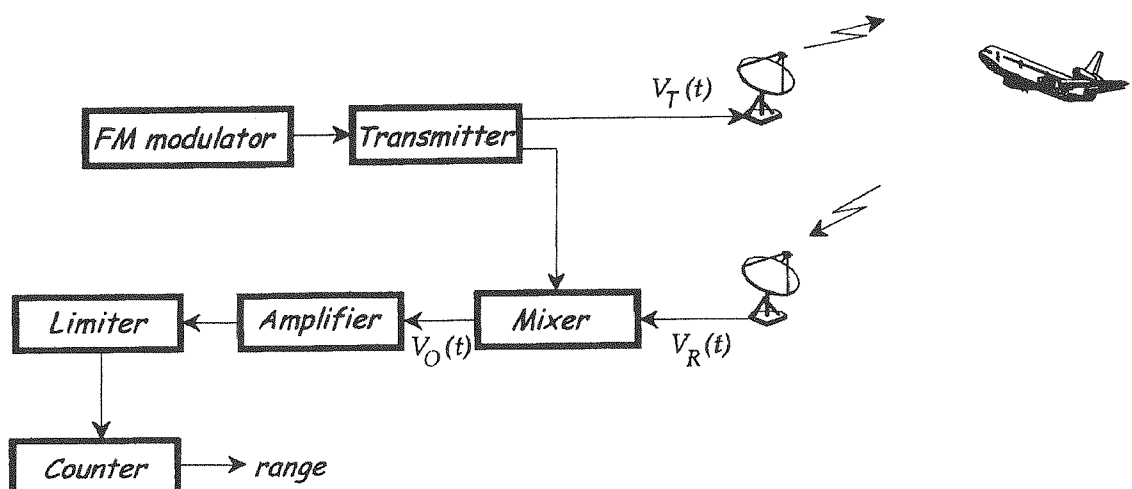
مقدمه

کننده پریوودیک است، تولید و توسط آنتن فرستنده ارسال می‌شود. آنگاه سیگنالی که توسط آنتن گیرنده دریافت شده است (سیگنال دریافتی) با بخشی از سیگنال ارسالی مخلوط می‌گردد تا سیگنال فرکانس اختلاف به دست آید. به عنوان نمونه شکل (۲) رابطه بین فرکانس سیگنال ارسالی و فرکانس سیگنال دریافتی و همچنین اختلاف این دو فرکانس را زمانی که از مدولاسیون مثلثی استفاده شده است، نشان می‌دهد.

می‌توان دید که اگر پریوود موج مدوله کننده نسبت به تأخیر سیگنال دریافتی زیاد باشد، آنگاه اختلاف فرکانس سیگنال ارسالی و سیگنال دریافتی تقریباً ثابت بوده و متناسب با فاصله هدف تا رادار است.

می‌دانیم که رزولوشن یک رادار FMCW با رزولوشن یک رادار پالسی، زمانی که پهنهای باند سیگنال ارسالی هر دو رادار برابر باشد، یکسان خواهد بود [۱]. اما برخلاف رادارهای پالسی که تأخیر زمانی بین پالس ارسالی و پالس دریافتی را اندازه گیری می‌کنند در اغلب رادارهای FMCW فاصله رادار تا هدف از روی اختلاف فرکانس لحظه‌ای بین سیگنال ارسالی و سیگنال دریافتی مشخص می‌شود.

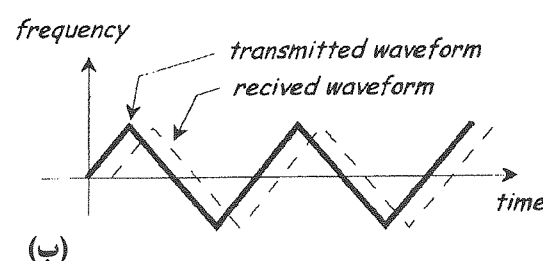
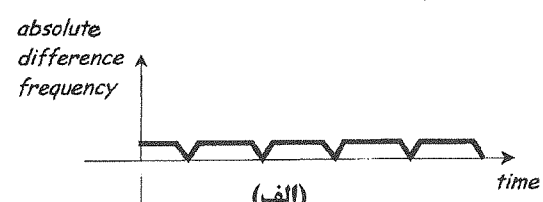
در شکل (۱) بلوک دیاگرام ساده یک رادار FMCW نشان داده شده است. این نوع رادارها معمولاً در ارتفاع سنجی و سایر کاربردهای برد متوسط بکار می‌روند [۲]. به طور خلاصه سیستم این رادار چنین عمل می‌کند: یک سیگنال FMCW که در آن سیگنال مدوله



شکل (۱) بخشی از بلوک دیاگرام یک رادار

سیگنال فرکانس اختلاف پس از تقویت و محدود شدن به یک شمارشگر گذر از صفر (zero crossing counter) داده می‌شود. خروجی مدار شمارشگر گذر از صفر متناسب با فاصله هدف تا رادار است. اما اگر چند هدف به طور همزمان در برابر رادار FMCW قرار گیرند دیگر نمی‌توان توسط این رادار اهداف را از یکدیگر تمیز داده و فاصله آنها را تا رادار به دست آورد.

رادارهای FMCW برای هنگامی که مقصد آشکارسازی یک هدف باشد، کاربردهای فراوانی پیدا کرده‌اند. اما بکارگیری اینگونه رادارها هنگامی که بخواهیم چند هدف را آشکار نماییم، دشوار است. در کارهای اولیه، از رادار FMCW برای آشکارسازی



شکل (۲) رابطه فرکانس‌های ارسالی و دریافتی

$$v_0(t) = KV_R V_T \cos(\omega_c T + \int^t m(t') dt' - \int^{t-T} m(t') dt' - \alpha) \quad (2)$$

که در اینجا K یک مقدار ثابت بوده و $\omega_c T - \alpha$ یک فاز تصادفی است که در فاصله $(0, 2\pi)$ توزیع یکنواخت دارد. در حالتی که انعکاس همزمان از چند هدف وجود داشته باشد سیگنال دریافتی از اهداف به صورت مجموعه‌ای از سیگنال‌ها است که از اهداف مختلف به سوی رادار بازگشته و دچار تأخیرهای مختلفی شده‌اند. در این حالت $v_R(t)$ مطابق رابطه (۴) است:

$$v_R(t) = \sum_k E_k \cos(\omega_c (t - T_k) + \int^{t-T_k} m(t') dt' + \alpha_k) \quad (4)$$

بدینسان خروجی میکسر بعد از فیلتر شدن فرم رابطه (۵) را خواهد داشت [۵]:

$$v_0(t) = \sum_k E_k \cos(\omega_c T_k + \int_{t-T_k}^t m(t') dt' - \alpha_k) \quad (5)$$

که در این روابط E_k دامنه سیگنال دریافتی از هدف k است و مشاهده می‌شود که $v_0(t)$ یک سیگنال پریودیک با T_m می‌باشد. اگر که خط طیف توان برای هدف نقطه‌ای که در فاصله R از رادار قرار دارد، در فرکانس nf_m (با فرض اینکه کل توان سیگنال بعد از میکسر ناشی از این هدف نقطه‌ای برابر واحد است) را $S_y(nf_m)$ بنامیم، می‌توان نشان داد که اندازه خط طیف توان در فرکانس nf_m برای، زمانی که اشعه آتنن N هدف نقطه‌ای را پوشش می‌دهد به فرم (۶) قابل محاسبه است.

$$S(nf_m) = \frac{\lambda^2 P_T}{(4\pi)^3} \sum_{i=1}^N \frac{S_y(nf_m, i) G^2(\theta_i) \sigma_i^2}{r_i^4} \approx \frac{\lambda^2 P_T}{(4\pi)^3} G_{\max}^2 \sum_{i=1}^N \frac{S_y(nf_m, i)}{r_i^4} \sigma_i^2 \quad (6)$$

که در این رابطه N تعداد اهداف نقطه‌ای، σ_i سطح مقطع راداری هدف نقطه‌ای که در فاصله i تا رادار قرار دارد و $G(\theta_i)$ گین آتنن رادار در جهت هدف نقطه‌ای i است (با فرض آنکه آتنن‌های فرستنده و گیرنده رادار یکسان می‌باشند) P_T توان ارسالی رادار و λ طول موج سیگنال ارسالی است.

اهداف مخفی شده استقاده گشته است [۳]. این کار تنها با مشاهده طیف سیگنال بعد از میکسر روی یک تحلیل‌گر طیف (Spectrum analyser) توسط چشم انجام شده است، که این نوع مشاهده و تفسیر غالباً رضایت‌بخش نمی‌باشد.

در این مقاله طیف سیگنال پس از میکسر در رادار FMCW محاسبه شده است (بخش اول و دوم). در بخش سوم روشی برای پردازش طیف سیگنال بعد از میکسر جهت استخراج فاصله چند هدف تا رادار پیشنهاد شده است (رادار پیشنهادی در کاربردهای حفاظتی و یا کشف نیروهای پیاده، تا برد چند کیلومتر می‌تواند مورد استفاده قرار گیرد). در بخش چهارم و پنجم تأثیر وجود نویز بر پردازش پیشنهادی روی طیف سیگنال مورد بررسی قرار گرفته و شبیه‌سازی‌های مربوطه ارائه شده است. در بخش آخر نیز نتیجه گیری شبیه‌سازی‌ها بیان شده است.

۱- طیف سیگنال بعد از میکسر در رادار FMCW

در شکل (۱) بلوک دیاگرام ساده یک رادار FMCW نشان داده شده است. در این نوع رادارها سیگنال ارسالی یک سیگنال FM است که فرم کلی آن در رابطه (۱) آمده است [۴]:

$$v_T(t) = V_T \cos(\omega_c t + \int^t m(t') dt') \quad (1)$$

در این رابطه $m(t)$ تابعی پریودیک با پریود $T_m = 1/f_m$ بوده و $\omega_c/2\pi + m(t)$ فرکانس لحظه‌ای این سیگنال است. اگر هدفی در فاصله R تا رادار قرار داشته باشد سیگنال دریافتی از این هدف، به فرم نشان داده شده در رابطه (۲) خواهد بود:

$$v_R(t) = V_R \cos(\omega_c (t - T) + \int^{t-T} m(t') dt' + \alpha) \quad (2)$$

و در این رابطه $T = 2R/c$ سرعت انتشار موج در محیط می‌باشد) و α اختلاف فاز ناشی از انعکاس سیگنال از سطح هدف است. در مخلوط کننده سیگنال دریافتی با بخشی از سیگنال ارسالی ترکیب شده و خروجی بعد از فیلتر شدن مؤلفه‌های فرکانس بالا به فرم $v_0(t)$ مطابق رابطه (۳) خواهد بود:

۲- محاسبه خطوط طیف توان ($S_y(nf_m, r)$)

فرض می کنیم که توان دریافتی از هدف نقطه ای که در فاصله r از رادار قرار دارد، برابر با واحد است. بدینسان سیگنال بعد از میکسر چنین است:

$$v_0(t) = \sqrt{2} \cos \left(\int_{t-T}^t m(t') dt' + \beta \right) \quad (7)$$

$$\begin{aligned} C_0(t) &= \frac{1}{\pi} \int_0^\pi \cos(T \cdot m(t)) dt \\ C_n(t) &= \frac{2}{\pi} \int_0^\pi \cos(T \cdot m(t) - nt) dt \quad n = 1, 2, 3, \dots \end{aligned} \quad (12)$$

و در این حالت خاص خطوط طیف توان از رابطه (12) به دست می آیند:

$$S_y(0 f_m, T) = \left\{ \frac{1}{\pi} \int_0^\pi \cos(T \cdot m(t)) dt \right\}^2$$

$$S_y(n f_m, T) = \left\{ \frac{\sqrt{2}}{\pi} \int_0^\pi \cos(T \cdot m(t) - nt) dt \right\}^2 \quad (13)$$

نکته ای که باید به آن اشاره کنیم، این است که چون توان سیگنال $v_0(t)$ برابر واحد است، بنابر این مجموع خطوط طیف توان نیز بایستی برابر واحد گردد [۶]. در f_m باید به این نکته توجه نمود که $S_y(n f_m, r)$ به $S_y(nf_m, T)$ بستگی ندارد و تنها تابع n و شکل مدولاسیون است. در شکل (۳) خطوط طیف توان سیگنال دریافتی مربوط به سه هدف نقطه ای که در فواصل ۲۹۵ و ۲۷۵ و ۹۰ متری به طور همزمان در برابر اشعه اصلی آتن رادار قرار گرفته اند، با این فرض که انحراف فرکانس سیگنال ارسالی ۵MHz و فرکانس مدولاسیون $f_m = 150$ Hz بوده برای مدولاسیون های مثلثی، دندانه اره ای و سینوسی آمده است. در شکل (۴) خطوط طیف توان برای همین رادار، زمانی که تنها یک هدف نقطه ای در فاصله ۲۷۰ متری رادار قرار دارد، محاسبه شده است.

۳- پردازش طیف سیگنال پس از میکسر به منظور استخراج ارتفاع:

زمانی که در آشکارسازی انتظار دریافت پیام های خاصی را داریم، بهترین روش برای تشخیص پیام دریافتی این است که سیگنال دریافتی را با هر یک از پیام های مورد انتظار مقایسه کرده و با این مقایسه پیام را شناسایی نماییم. همین نظریه منتج به استفاده از فیلترهای منطبق و گیرندهای همبستگی شده که دارای یک اصل کارکرد بوده و در خروجی آنها بهترین نسبت

که β همان فاز تصادفی مذکور در رابطه (۳) بوده و دارای توزیع یکنواخت در فاصله $(0, 2\pi)$ است. با فرض اینکه T خیلی کوچکتر از $T_m = 2\pi/\omega_m$ است و آنجا که مقصود ما پیدا کردن خطوط طیف سیگنال توان می باشد، می توانیم رابطه فوق را با تقریب به فرم رابطه (۸) بنویسیم:

$$v_0(t) = \sqrt{2} \cos(Tm(t) + \beta) \quad (8)$$

سیگنال v_0 به فرم سری فوریه اش قابل بیان است:

$$\begin{aligned} v_0(t) &= \sqrt{2} \cos(\beta) [a_0(T) + 2a_1(T) \cos(\omega_m t) + 2a_2(T) \cos(2\omega_m t) + \dots] \\ &\quad - \sqrt{2} \sin(\beta) [b_0(T) + 2b_1(T) \sin(\omega_m t) + 2b_2(T) \sin(2\omega_m t) + \dots] \\ &= C_0(T) + C_1(T) \cos(\omega_m t + \varphi_1) + C_2(T) \cos(2\omega_m t + \varphi_2) + \dots \end{aligned}$$

که در این روابط داریم:

$$\begin{aligned} a_n(T) &= \frac{1}{2\pi} \int_{-\pi}^{\pi} \cos(Tm(x)) \cos(nx) dx \\ b_n(T) &= \frac{1}{2\pi} \int_{-\pi}^{\pi} \sin(Tm(x)) \sin(nx) dx \end{aligned} \quad (10)$$

می توان نشان داد که اندازه خطوط طیف توان در فرکانس های 0 و f_m و $2f_m$ و ... به ترتیب برابرند با متoste های $(C_0)^2$ و $(C_1)^2$ و $(C_2)^2$ و ...، بدینسان رابطه (۱۱) به دست می آید.

$$S_y(0 f_m, T) = E\{C_0^2\} = a_0^2(T) + b_0^2(T)$$

$$S_y(n f_m, T) = E\{C_n^2 / 2\} = 2a_n^2(T) + 2b_n^2(T) \quad (11)$$

که در اینجا $E\{\cdot\}$ امید ریاضی است. در حالت خاص اگر

بر این مبنای حاصل جمع a_i ها زمانی حداکثر می شود که رشتہ اعداد a_i حداکثر شباهت را به رشتہ b_i پیدا کند. اکنون در نظر می گیریم که خطوط طیف سیگنال بعد از میکسر یعنی $S(nf_m)$ را در اختیار داریم، خطوط طیف برای هدف نقطه ای که در فاصله r تا رادار قرار دارد، نیز قابل محاسبه و برابر $S_y(nf_m, r)$ است. عبارت $P_x(r)$ ،تابع سنجش فاصله را، به صورت رابطه (۱۵) تعریف می کنیم:

$$P_x(r) = \frac{\sum S(nf_m) \cdot S_y(nf_m, r)}{\sqrt{\sum S_y^2(nf_m, r)}} \quad (15)$$

باتوجه به مطالب عنوان شده انتظار داریم $P_x(r)$ به ازاء مقادیری از $r = r_i$ حداکثر گردد که در آن شباهت بین S_y حداکثر شده است. بدین ترتیب حدس خواهیم زد که هدفی در فاصله r_i تا رادار قرار دارد.

نکته بسیار جالب اینکه اگر چند هدف نقطه ای، همزمان در دید رادار قرار گیرند، می توان با محاسبه تابع سنجش فاصله همه این اهداف را آشکار نمود، که در رادارهای FMCW معمولی چنین عملکردی وجود ندارد. چنین خصوصیتی ناشی از عملکرد خطی $S(nf_m)$ برابر $P_x(r)$ است.

سیگنال به نویز و در نتیجه کمترین خطای ممکن را خواهیم داشت. در پردازش طیف بعد از میکسر نیز می توان از این نظریه برای استخراج فاصله استفاده کرد. [۷]

چنانچه دو رشتہ از اعداد یکی a_i و دیگری b_i را چنین در نظر بگیریم:

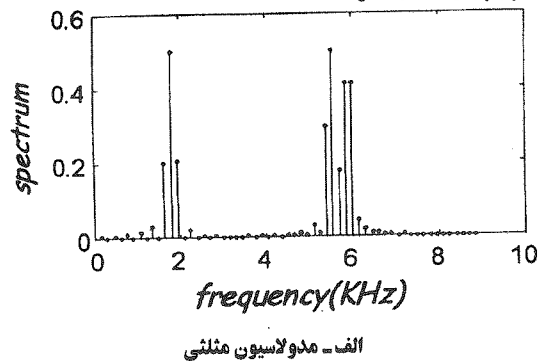
$$a_i > 0$$

$$b_i > 0$$

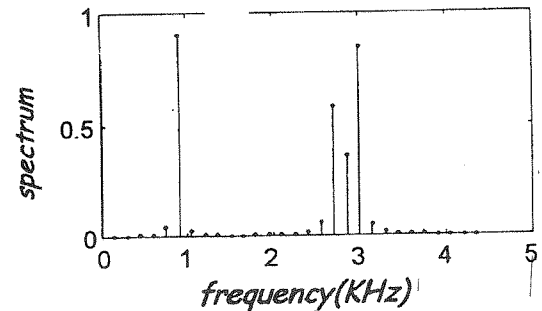
در این صورت می توان چنین به دست آورد:

$$\sum_i (a_i - b_i)^2 \geq 0 \rightarrow 0 \leq \frac{2 \sum a_i b_i}{\sum a_i^2 + \sum b_i^2} \leq 1 \quad (14)$$

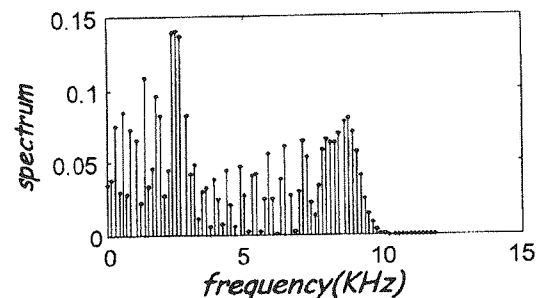
و حالت تساوی با یک، تنها زمانی برقرار است که رشتہ a_i برابر رشتہ b_i گردد.



الف - مدولاسیون مثلثی

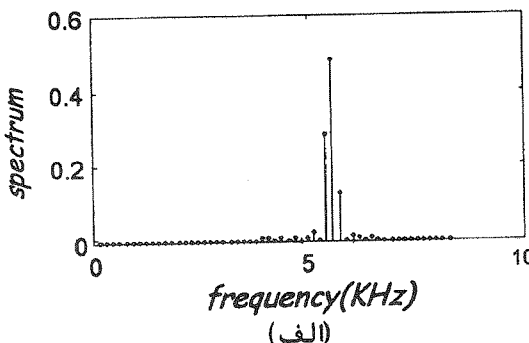


ب - مدولاسیون دندانه ارایی

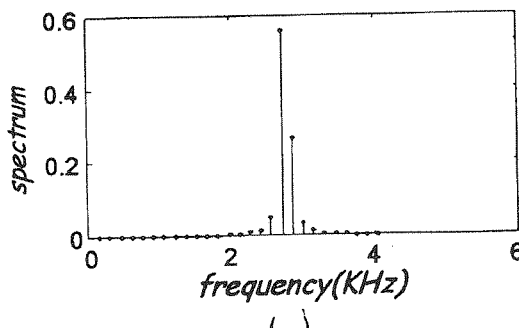


پ - مدولاسیون سینوسی

شکل (۳) طیف بعد از میکسر (محور عمودی طیف سیگنال و محور افقی فرکانس بر حسب KHZ).



(الف)



(ب)

استفاده کرده $P_x(r)$ را محاسبه نموده و فاصله هدف را استخراج کنیم (در اینجا چون طیف آمیخته به نویز است در عوض $P_{xN}(r)$ عبارت $P_{xN}(r) = P_x(r) + P_N(r)$ با قرار دادن (۱۸) در (۱۵) چنین داریم:

$$P_{xN}(r) = \frac{\sum [S(nf_m) + 2N(nf_m) \cdot f_m] S_y(nf_m, r)}{\sqrt{\sum S_y^2(nf_m, r)}} = P_x(r) + P_N(r)$$

$$= P_x(r) + 2f_m \frac{\sum N(nf_m) \cdot S_y(nf_m, r)}{\sqrt{\sum S_y^2(nf_m, r)}} = P_x(r) + P_N(r) \quad (۱۹)$$

باید توجه کرد که اگر پهنای باند سیستم گیرنده f_B باشد نسبت سیگنال به نویز در خروجی میکسر تقریباً چنین خواهد بود:

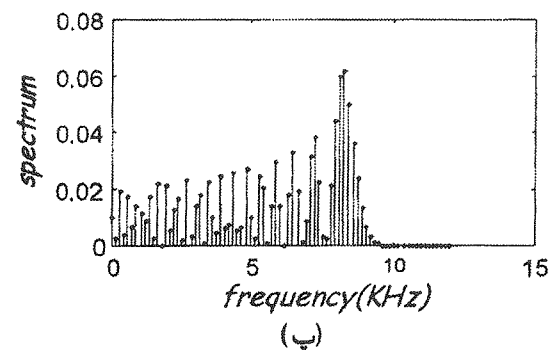
$$\frac{S}{N} = \frac{\sum_n S(nf_m)}{2 \int_0^{f_B} N(f) df} \quad (۲۰)$$

اما رابطه (۱۹) متشكل ازتابع سنجش فاصله، $P_x(r)$ به علاوه جمله دیگری است که آن را $P_N(r)$ «تابع خطای فاصله» نام نهاده ایم. وجود این جمله اضافه می تواند نقطه پیک منحنی $P_x(r)$ را جایجا نموده و در تعیین فاصله خطایجاد کند. عبارت نویزی $P_N(r)$ تنها و تنها زمانی بر مکان نقطه پیک منحنی $P_x(r)$ بدون تأثیر است که مقداری ثابت باشد.

۵- پردازش طیف سیگنال همراه با نویز سفید جمع شونده

در اینجا فرض می کنیم که نویز از نوع سفید و جمع شونده بوده و دانسیته طیف توان نویز برابر با η است در این وضعیت رابطه (۱۹) به فرم زیر تبدیل خواهد شد:

$$P_{xN}(r) = P_x(r) + 2f_m \cdot \eta \cdot \frac{\sum S_y(nf_m, r)}{\sqrt{\sum S_y^2(nf_m, r)}} = P_x(r) + P_N(r) \quad (۲۱)$$



شکل (۳) طیف بعد از میکسر (محور عمودی طیف سیگنال و محور افقی فرکانس بوسیله .KHZ

الف - مدولاسیون مثنی ب - مدولاسیون دندانه ازهای

ب - مدولاسیون سینوسی

۶- تأثیر وجود نویز در پردازش طیف سیگنال

نویز بعد از میکسر رادار FMCW را از نوع جمع شونده فرض می کنیم. اگر که نویز و سیگنال ناهمبسته بوده و متوسط نویز برابر صفر باشد، ثابت می شود که توان خروجی میکسر متشكل از مجموع توان سیگنال و توان نویز است [۸].

$$E\{(S(t) + n(t))^2\} = E\{S^2(t)\} + E\{n^2(t)\} \quad (۱۶)$$

(در اینجا $E\{\cdot\}$ امید ریاضی است) اگر طیف توان نویز بعد از میکسر به فرم $N(f)$ باشد و ما بخواهیم با قرار دادن یک فیلتر میان گذر با پهنای باندی برابر f_m (فرکانس مدولاسیون) و فرکانس مرکزی nf_m ، مؤلفه n طیف سیگنال یعنی $S(nf_m)$ را استخراج کنیم، به همراه آن مقداری نویز خواهیم داشت. که توان این نویز تقریباً برابر است با [۹]:

$$\int_{(n - 0.5)f_m}^{(n + 0.5)f_m} N(f) df \approx 2N(f_m) \cdot f_m \quad (۱۷)$$

و بدین ترتیب در عوض مؤلفه $S(nf_m)$ ، مؤلفه آمیخته به نویز $S_N(nf_m)$ را دریافت خواهیم کرد:

$$S_N(nf_m) = S(nf_m) + 2N(f_m) \cdot f_m \quad (۱۸)$$

اکنون می خواهیم از این مؤلفه جدید در رابطه (۱۵)

مثلثی و دندانه اره ای رسم شده اند. با توجه به نتایج شبیه سازی برای مدولاسیون های مختلف می توان چنین گفت:

نویز سفید جمع شونده زمانی که از مدولاسیون مثلثی استفاده می کنیم، در پردازش طیف اهداف با فاصله بیش از ۱۰۰ متر بدون تأثیر است، زیرا که منحنی تابع خطای فاصله، $P_N(r)$ ، برای آهای بزرگتر از ۱۰۰ متر مقداری ثابت باقی می ماند. بدینسان با توجه به رابطه (۲۱) اضافه شدن نویز سفید به سیگنال در این حالت در به دست آوردن پیک منحنی $P_{XN}(r)$ ، برای فاصله های بیش از ۱۰۰ متر بدون تأثیر است. اما برای $S/N \leq 100$ نقطه پیک منحنی $P_{XN}(r)$ بسته به نسبت S/N به سمت بزرگتری شیفت پیدا می کند.

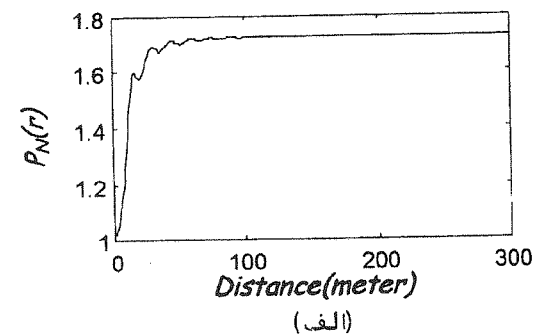
زمانی که از مدولاسیون دندانه اره ای استفاده می کنیم، نویز سفید جمع شونده با توجه به نوسانات شدیدی که در منحنی مربوطه در شکل (۶) مشاهده می شود، می تواند در جابجایی نقطه پیک منحنی $P_x(r)$ پسیار مؤثر بوده و اهدافی غیرواقعی را اعلام کند، به ویژه زمانی که S/N کوچک باشد.

زمانی که از مدولاسیون سینوسی استفاده می کنیم می توان گفت که نویز سفید جمع شونده می تواند نقطه پیک $P_x(r)$ را به ویژه زمانی که S/N کوچک باشد به راحتی جابجا نماید.

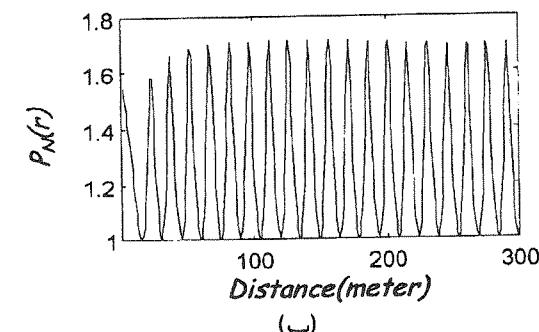
در شکل (۶ - الف) تابع سنجش فاصله برای زمانی که مدولاسیون مثلثی با انحراف فرکانس 5 MHz و $f_m = 150 \text{ Hz}$ بوده و سه هدف در فواصل ۲۹۵ و ۲۷۵ و ۹۰ متری قرار داشته و سیستم بدون نویز است آمده و در قسمت (ب) همین شکل با فرض اینکه پهنای باند گیرنده 15 KHz و $S/N = 3 \text{ dB}$ است تابع سنجش فاصله محاسبه شده است. نقاط پیک منحنی های به دست آمده در ۲۹۵ و ۲۷۵ و ۹۰ متری است.

شکل (۷ - الف) نیز تابع سنجش فاصله را برای زمانی که سیستم نویزی و یا اینکه بدون نویز است، نشان می دهد. منتهی فرض بر این است که در این سیستم مدولاسیون دندانه اره ای به کار رفته است. در اینجا مشاهده می شود که به علت وجود پیک های متعدد در منحنی، اهداف با سطح مقطع کوچک که انعکاس کمی دارند، در این پیک ها آشکار نخواهند شد.

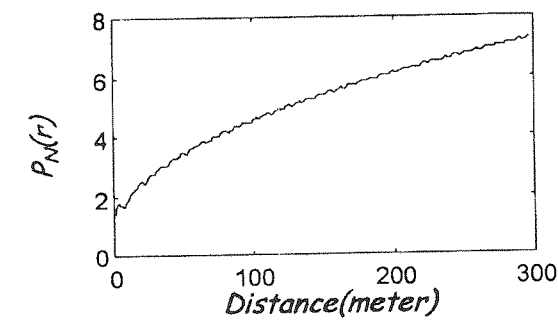
شبیه سازی نشان می دهد که برای مدولاسیون سینوسی تفکیک چند هدف با استفاده از روش فوق تقریباً ناممکن است.



(الف)



(ب)



(پ)

شکل (۶) تابع خطای فاصله در برابر فاصله بر حسب متر.

الف - مدولاسیون مثلثی ب - مدولاسیون دندانه اره ای

پ - مدولاسیون سینوسی

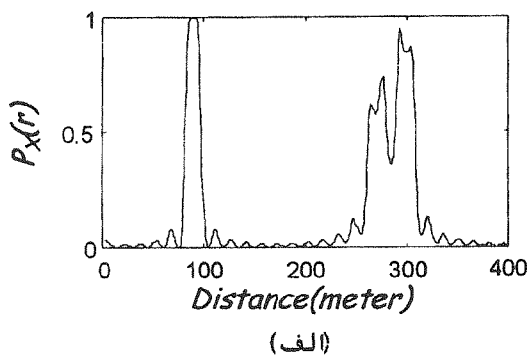
با توجه به اینکه مقدار $S_y(nf_m, r)$ همواره مستقل از فرکانس f_m به دست می آید، بنابراین مخرج کسر $P_N(r)$ مقداری مستقل از فرکانس مدولاسیون است. ولی صورت این کسر متناسب با f_m می باشد. از این رو با کاهش فرکانس مدولاسیون عبارت $P_N(r)$ نیز کوچکتر شده و میزان خطای ناشی از وجود نویز کاسته می شود. (زیرا با کاهش f_m پهنای باند سیستم نیز کاهش یافته و توان نویز ورودی کم خواهد شد.). در شکل (۷) عبارت $\eta = P_N(r)/(2f_m)$ برای مدولاسیون های سینوسی،

نتیجه‌گیری

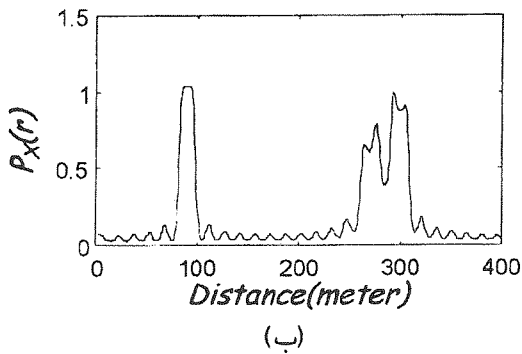
با احتساب اثر نویز سفید جمع شونده در گیرنده، تأثیر آن را بر روی طیف نشان داده و دیدیم که این امر باعث می‌شود که در محاسبه تابع سنجش فاصله ترم دیگری به نام تابع خطای فاصله وارد گردد که با توجه به نسبت S/N ، این تابع باعث خطا در محاسبه ارتفاع خواهد شد. تابع خطای فاصله وابسته به نوع و فرکانس مدولاسیون است و با بررسی آن می‌توان دریافت زمانی که از مدولاسیون مثلثی استفاده می‌کنیم، کمترین خطای در محاسبه فاصله (به ویژه برای فواصل دور) نسبت به هنگامی که از مدولاسیون‌های سینوسی یا دندانه اره‌ای استفاده می‌کنیم خواهیم داشت.

طیف سیگنال بعد از میکسر در رادار FMCW زمانی که یک یا چند هدف نقطه‌ای به طور همزمان در برابر این رادار قرار گرفته باشد، محاسبه گردید. سپس طیف مربوط به اهداف نقطه‌ای زمانی که از مدولاسیون‌های مثلثی، دندانه اره‌ای و سینوسی در این رادار استفاده شده است، نشان داده شد.

در ادامه با ارائه تابع سنجش فاصله و محاسبه آن نشان داریم که می‌توان فاصله چند هدف تا رادار FMCW را به دست آورد. نتایج شبیه‌سازی نشان می‌دهد که روش پیشنهادی زمانی که از مدولاسیون مثلثی استفاده می‌کنیم، قادر به تفکیک بهتر اهداف بوده و قدرت تفکیک آن، با انحراف فرکانس سیگنال ارسالی $f_m = 150 \text{ Hz}$ و فرکانس مدولاسیون 5 MHz به حدود ۲۰ متر می‌رسد.

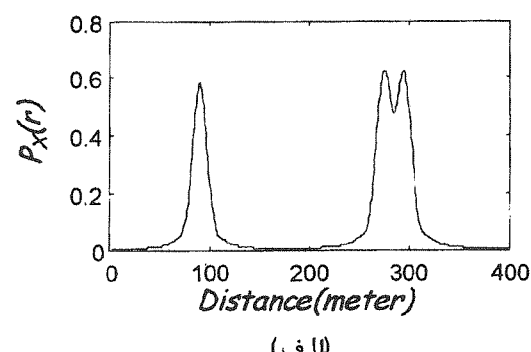


(الف)

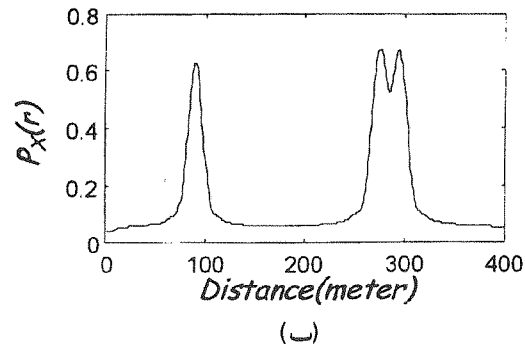


(ب)

شکل (۷) نتیجه پردازش بر حسب فاصله برای مدولاسیون دندانه اره‌ای.
(محور افقی فاصله بر حسب متر را نشان می‌دهد.)



(الف)



(ب)

شکل (۶) نتیجه پردازش بر حسب فاصله برای مدولاسیون مثلثی.
(محور افقی فاصله بر حسب متر را نشان می‌دهد.)

مراجع

- [1] Suner J. Axelsson. "Area Target Response of Triangularly Frequency-Modulated Continuous Wave Radars." IEEE Trans. on Aerospace and Electronic Systems, Vol. AES-14, No. 2, pp. 2662-77, March 1978.
- [2] W. K. Saunders. "Post-War Developments in Continuous-Wave and Frequency Modulated Radar." IRE Trans. on Aerospace and Navigational Electronic, Vol. ANE-7, pp 7-19, March 1961.
- [3] P.J.B. Clarricoats, R. Kularajah, R.R.Lents and G. T.Poulton."Detection of Buried Objects by Microwave Means." Proceedings of the 7th European Microwave Conference, Sept. 1977, pp. 409-414.
- [٤] مهرزاد بیغش، فروهر فرزانه، تحلیل طیف بازگشتی از زمین در رادار ارتفاع سنج FMCW با احتساب تأثیر نویه جمع شونده. » مجله بین المللی علوم مهندسی دانشگاه علم و صنعت ایران، جلد هشتم شماره ۱ - ب، تابستان ۱۳۷۶، صفحه ۴۰-۳۱.
- [5] G. A. McAlpine, J.F. Dammann, J.H.Highfill and J.C. Isaacs, "Post Mixer Spectra for Periodic FM Altimeter with Area Target Returns.S IEEE Trans on Aerospace and Electronic Systems, Vol. AES-7, No. 5, pp. 932-941, September 1971.
- [6] H. Taub, D. Schilling, "Principles of Communication Systems." McGraw-Hill 1971, pp. 118-122.
- [7] A. E. Carr, L.G.Cuthbert and A.D.Oliver, "Digital Signal Processing for Target Detection in FMCW Radar." IEE Proc., Vol.128, Pt.F, No. 5, pp. 331-336, October 1981.
- [8] A. Bruce Carlson. "Communication Systems. "McGraw - Hill, Third Edition, 1987.
- [٩] مهرزاد بیغش، تحلیل سیگنال بازگشتی از زمین در رادار ارتفاع سنج FMCW و تعیین الگوریتم پردازش آن. » پایان نامه کارشناسی ارشد، فصل سوم، تابستان ۱۳۷۳، دانشگاه صنعتی شریف.